

现代散射振幅的在壳纲领-在壳递推关系

冯波

浙江大学物理系，北京计算科学研究中心

2023年8月4日

- 1 递推关系
 - 色次序
 - 在壳递推关系
 - 在壳递推关系的简单应用

这一部分，我们讨论，如何建立树图散射振幅的在壳递推关系，特别是对规范粒子。

第 1 节：色次序

[Lance Dixon, hep-ph/9601359]

涉及规范场散射振幅的计算，是一个非常重要，但也非常复杂的部分。其复杂性的一个来源就是动力学和色指标的纠缠：费曼规则中即有动力学因子，也有包含色指标的耦合常数。历史告诉我们一个非常重要的经验：**分离不同物理起源的纠缠**，会极大的简化计算，同时能发现**被纠缠所隐藏的非平庸物理信息**！

此处，这种分离的手段就是**色分解**!!!

考虑 $SU(N_c)$ 伴随表示的胶子，其基础表示生成元是无迹、厄米的 $N_c \times N_c$ 矩阵， $(T^a)_{i\bar{j}}$, $i, \bar{j} = 1, \dots, N_c$ 。

- 归一化的选择是 $\text{Tr}(T^a T^b) = \delta_{ab}$
- 因此费曼规则中出现的结构常数可以表示为

$$f^{abc} = \frac{-i}{\sqrt{2}} \text{Tr}(T^a [T^b, T^c]), \quad (1)$$

- 费曼规则中，会出现对中间态的色指标求和，此时有等式

$$\sum_{a=1}^{N_c^2-1} (T^a)_{i_1}^{\bar{j}_1} (T^a)_{i_2}^{\bar{j}_2} = \delta_{i_1}^{\bar{j}_2} \delta_{i_2}^{\bar{j}_1} - \frac{1}{N_c} \delta_{i_1}^{\bar{j}_1} \delta_{i_2}^{\bar{j}_2} \quad (2)$$

或者如下形式

$$\sum_a \text{Tr}(XT^a) \text{Tr}(T^a Y) = \text{Tr}(XY) - \frac{1}{N_c} \text{Tr}(X) \text{Tr}(Y) \quad (3)$$

$$\sum_a \text{Tr}(XT^a Y T^a) = \text{Tr}(X) \text{Tr}(Y) - \frac{1}{N_c} \text{Tr}(XY) . \quad (4)$$

利用 (1), 或者 (3)(4) 可以看到所以胶子树图散射散射可以分解为如下的形式:

$$\mathcal{A}_{\text{tot}}(\{k_i, \epsilon_i, a_i\}) = \sum_{\sigma \in S_n/Z_n} \text{Tr}(T^{a_{\sigma(1)}} T^{a_{\sigma(2)}} \dots T^{a_{\sigma(n)}}) \times A_n^{\text{tree}}(\sigma(1), \sigma(2), \dots, \sigma(n)) \quad (5)$$

此即胶子的 **色分解**, 而右边的量是 **色次序下的胶子散射振幅**

例：四点振幅有如下的 s 道费曼图：

$$\begin{aligned} & -2 \sum_e f^{a_1 a_2 e} f^{e a_3 a_4} \\ &= \sum_e \text{Tr}(T^{a_1} [T^{a_2}, T^e]) \text{Tr}(T^e [T^{a_3}, T^{a_4}]) \\ &= \sum_e (\text{Tr}(T^{a_1} T^{a_2} T^e) - \text{Tr}(T^{a_2} T^{a_1} T^e)) \\ & \quad \times (\text{Tr}(T^e T^{a_3} T^{a_4}) - \text{Tr}(T^e T^{a_4} T^{a_3})) \\ &= [\text{Tr}(T^{a_1} T^{a_2} T^{a_3} T^{a_4}) - \frac{1}{N_c} \text{Tr}(T^{a_1} T^{a_2}) \text{Tr}(T^{a_3} T^{a_4})] \end{aligned}$$

$$\begin{aligned}
& - [\text{Tr}(T^{a_1} T^{a_2} T^{a_4} T^{a_3}) - \frac{1}{N_c} \text{Tr}(T^{a_1} T^{a_2}) \text{Tr}(T^{a_4} T^{a_3})] \\
& - [\text{Tr}(T^{a_2} T^{a_1} T^{a_3} T^{a_4}) - \frac{1}{N_c} \text{Tr}(T^{a_2} T^{a_1}) \text{Tr}(T^{a_3} T^{a_4})] \\
& + [\text{Tr}(T^{a_2} T^{a_1} T^{a_4} T^{a_3}) - \frac{1}{N_c} \text{Tr}(T^{a_2} T^{a_1}) \text{Tr}(T^{a_4} T^{a_3})] \\
& = \text{Tr}(T^{a_1} T^{a_2} T^{a_3} T^{a_4}) - \text{Tr}(T^{a_1} T^{a_2} T^{a_4} T^{a_3}) \\
& - \text{Tr}(T^{a_2} T^{a_1} T^{a_3} T^{a_4}) + \text{Tr}(T^{a_2} T^{a_1} T^{a_4} T^{a_3})
\end{aligned}$$

请特别注意 $\frac{1}{N_c}$ 项的消失！ 也请思考其它群表示下如何分解？

色次序的散射振幅有简单的费曼规则和费曼图:

$$\begin{aligned}
 \begin{array}{c} \rho \\ \text{wavy} \\ q \\ \text{wavy} \\ \mu \\ \text{wavy} \\ p \end{array} &= \frac{i}{\sqrt{2}} (\eta_{\nu\rho}(p-q)_\mu + \eta_{\rho\mu}(q-k)_\nu + \eta_{\mu\nu}(k-p)_\rho) \\
 \begin{array}{c} \mu \\ \text{wavy} \\ \lambda \\ \text{wavy} \\ \rho \end{array} &= i\eta_{\mu\rho}\eta_{\nu\lambda} - \frac{i}{2}(\eta_{\mu\nu}\eta_{\rho\lambda} + \eta_{\mu\lambda}\eta_{\nu\rho}) \\
 \begin{array}{c} \mu \\ \text{wavy} \\ \text{fermion} \end{array} &= \frac{i}{\sqrt{2}}\gamma_\mu & \begin{array}{c} \mu \\ \text{wavy} \\ \nu \end{array} &= -i\frac{\eta_{\mu\nu}}{p^2} \\
 \begin{array}{c} \mu \\ \text{wavy} \\ \text{fermion} \end{array} &= -\frac{i}{\sqrt{2}}\gamma_\mu & \begin{array}{c} \text{fermion} \end{array} &= \frac{i}{\not{p}}
 \end{aligned}$$

Figure 5: Color-ordered Feynman rules, in Lorentz-Feynman gauge, omitting ghosts. Straight lines represent fermions, wavy lines gluons. All momenta are taken outgoing.

上述的色分解有如下优点:

- (1) 色指标的依赖显示化, 当从 $SU(N_1)$ 规范群变到 $SU(N_2)$ 规范群时, 只改变色的求迹部分. 动力学的 A_n^{tree} 不变.
- (2) 色次序下振幅是循环不变的, 即
$$A_n(\sigma_1, \sigma_2, \dots, \sigma_n) = A_n(\sigma_n, \sigma_1, \dots, \sigma_{n-1})$$
- (3) 同时其解析结构也相对简单: 所允许的奇点一定是“色次序下动量的和的平方”。

更重要的，它们之间满足如下四个非平庸关系

- *Color-order reversed identity*

$$A_n(1, 2, \dots, n-1, n) = (-)^n A_n(n, n-1, \dots, 2, 1), \quad (6)$$

- *U(1)-decoupling identity*

$$\sum_{\sigma \text{ cyclic}} A(1, \sigma(2), \dots, \sigma(n)) = 0, \quad (7)$$

- *Kleiss-Kuijf relations* [R. Kleiss and H. Kuijf, (1989)], [V. Del Duca, L. J. Dixon and F. Maltoni, (2000)].

$$A_n(1, \{\alpha\}, n, \{\beta\}) = (-1)^{n_\beta} \sum_{\sigma \in OP(\{\alpha\}, \{\beta^T\})} A_n(1, \sigma, n) . \quad (8)$$

The order-preserved (OP) sum is over all permutations of the set $\alpha \cup \beta^T$, where relative orderings in α and β^T (the reversed ordering of set β) are preserved. n_β is the number of β elements.
(注：该结构其实是 **Shuffle 代数结构**！)

$$\begin{aligned} A(1, 2, 3, 6, 4, 5) &= A(1, 2, 3, 5, 4, 6) + A(1, 2, 5, 3, 4, 6) \\ &+ A(1, 2, 5, 4, 3, 6) + A(1, 5, 4, 2, 3, 6) + A(1, 5, 2, 4, 3, 6) \\ &+ A(1, 5, 2, 3, 4, 6) . \end{aligned} \quad (9)$$

- *BCJ Relations* (2008): [Bern, Carrasco, Johansson, 2008] 其中的 fundamental BCJ relations 比较规律

$$\begin{aligned}
 0 &= I_4 = A(2, 4, 3, 1)(s_{43} + s_{41}) + A(2, 3, 4, 1)s_{41} \\
 0 &= I_5 = A(2, 4, 3, 5, 1)(s_{43} + s_{45} + s_{41}) \\
 &\quad + A(2, 3, 4, 5, 1)(s_{45} + s_{41}) + A(2, 3, 5, 4, 1)s_{41} \\
 0 &= I_6 = A(2, 4, 3, 5, 6, 1)(s_{43} + s_{45} + s_{46} + s_{41}) \\
 &\quad + A(2, 3, 4, 5, 6, 1)(s_{45} + s_{46} + s_{41}) \\
 &\quad + A(2, 3, 5, 4, 6, 1)(s_{46} + s_{41}) \\
 &\quad + A(2, 3, 5, 6, 4, 1)s_{41}
 \end{aligned} \tag{10}$$

第2节：树图在壳递推关系

[Ruth Britto, Freddy Cachazo, Bo Feng, hep-th/0412308]

[Ruth Britto, Freddy Cachazo, Bo Feng, Edward Witten, hep-th/0501052]

[Bo Feng, Mingxing Luo, 1111.5759]

第 2.1 节：树图在壳递推关系的推导

下面我们介绍树图的在壳递推关系。在壳纲领的研究策略的第一点就是 **分析树图的解析结构**：

- 它是分母只含传播子乘积的有理函数！
- 当外线动量的特殊取值使得某个内线传播子在壳，我们就探测到“奇点结构”
- 物理的自洽性 (或者么正性)，要求奇点处有前面“自举方法”所介绍的“因子化形式”的存在！

$$\lim_{s \rightarrow 0} sA_n = A_m \times A_{n+2-m} \quad (11)$$

在壳纲领的研究策略的第二点就是 设计探测解析结构的好方案：BCFW 形变

- 挑选任意一对动量， p_i, p_j 进行如下满足 动量守恒的形变

$$p_i(z) = p_i + zq, \quad p_j(z) = p_j - zq, \quad (12)$$

- 要求形变后对 任意形变参数满足在壳条件：

$$p_i(z)^2 = p_i^2 + z^2 q^2 + 2zp_i \cdot q = p_i^2 \quad (13)$$

得到如下约束：

$$q^2 = q \cdot p_i = q \cdot p_j = 0. \quad (14)$$

- 对四维及其上时空维数，上述约束有解。
- 对四维无质量粒子，在旋量表示下，一个解可以直接写出

$$q = \lambda_i \tilde{\lambda}_j \quad (15)$$

或者对应的具体形变是

$$\begin{aligned} \lambda_i &\rightarrow \lambda_i, & \tilde{\lambda}_i &\rightarrow \tilde{\lambda}_i + z \tilde{\lambda}_j, \\ \tilde{\lambda}_j &\rightarrow \tilde{\lambda}_j, & \lambda_j &\rightarrow \lambda_j - z \lambda_i. \end{aligned} \quad (16)$$

为了后续应用的方便，我们称(16)为 $[i|j]$ 形变。
当然，还存在另一个解 $q = \lambda_j \tilde{\lambda}_i!!$

现在研究形变后的树图振幅 $A(z)$:

- 传播子分为两类。一类是同时含 p_i, p_j 动量, 或者不含它们。此时该传播子不依赖 z 。一类是只含一个, 比如 p_i , 此时有

$$\frac{1}{(p + p_i(z))^2} = \frac{1}{(p + p_i)^2 + z(2q \cdot (p + p_i))} \quad (17)$$

- 因此, 我们看到, $A(z)$ 是 **单复变量的只含单奇点的函数**。数学理论告诉我们: 知道该函数所有的单奇点的位置, 以及相应的留数, 我们就可以完全确定函数 $A(z)$

- 考虑如下的围道积分：

$$I = \oint \frac{dz}{z} A(z) \quad (18)$$

这里围道是半径足够大，包含所有奇点的圆

- 该围道积分有两种方式。一种是把围道看成围绕无穷远点的围道积分，因为我们得到所谓的“**边界贡献 B**”，即无穷远点的留数！

- 另一种方式是有限半径内奇点的围道积分。奇点有两类：第一类是来自 $\frac{1}{z}$ 因子，其留数就是 $A(z=0)$ ，这是我们希望计算的树图在壳散射振幅。
- 第二类奇点就是 $A(z)$ 中形变引入的。在某个传播子确定的奇点处，我们有

$$\begin{aligned}
 A(z) &= \tilde{A}(z) \frac{1}{(P_\alpha + p_i)^2 + z(2q \cdot (P_\alpha + p_i))} \\
 &= \frac{\tilde{A}(z)}{(2q \cdot (P_\alpha + p_i))} \frac{1}{z - z_\alpha}
 \end{aligned} \tag{19}$$

其中奇点位置为 $z_\alpha = -\frac{(P_\alpha + p_i)^2}{(2q \cdot (P_\alpha + p_i))}$

- 现在计算 $z = z_\alpha$ 处的留数 $\left(\frac{A(z)}{z}\right)_{z_\alpha}$ 。首先，利用“因子化条件”，有

$$\tilde{A}(z)_{z_\alpha} = \sum_{h=\pm} A_L(p_i(z_\alpha), -K^h(z_\alpha)) A_R(P^{-h}(z_\alpha), p_j(z_\alpha)) \quad (20)$$

因此

$$\begin{aligned} \left(\frac{A(z)}{z}\right)_{z_\alpha} &= \frac{1}{-\frac{(P_\alpha + p_i)^2}{(2q \cdot (P_\alpha + p_i))}} \frac{1}{(2q \cdot (P_\alpha + p_i))} \\ &\sum_{h=\pm} A_L(p_i(z_\alpha), P^h(z_\alpha)) A_R(-P^{-h}(z_\alpha), p_j(z_\alpha)) \\ &= - \sum_{h=\pm} \frac{A_L(p_i(z_\alpha), -K^h(z_\alpha)) A_R(K^{-h}(z_\alpha), p_j(z_\alpha))}{K^2} \quad (21) \end{aligned}$$

把两种计算等同起来，就得到

$$A(z=0) = B + \sum_{z_\alpha} \sum_{h=\pm} \frac{A_L(p_i(z_\alpha), -K^h(z_\alpha)) A_R(K^{-h}(z_\alpha), p_j(z_\alpha))}{K^2} \quad (22)$$

该表达式有如下的 BCFW 展开图。请注意图个数的增长是线性的，而费曼图的增长是超指数的。从这一个侧面，可以看到计算效率的巨大提升！

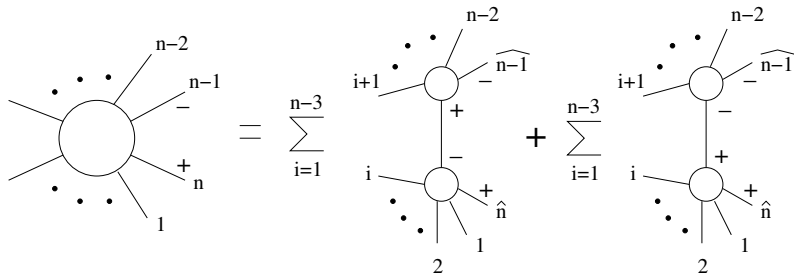


图: BCFW 图

第 2.2 节：边界贡献的讨论

现在我们讨论递推关系中的一个非常关键的部分：边界贡献！

- 边界贡献来自于形变参数 $z \rightarrow \infty$ 时的行为。假设其洛朗展开为

$$A(z \rightarrow \infty) \sim \sum_{i=k}^1 \frac{c_k}{z^k} + b_0 + \sum_{j=1}^n b_j z^j \quad (23)$$

令 $z = 1/t$ ，可以发现

$$\oint_{z=\infty} \frac{dz}{z} A(z) \sim \oint_{t=0} \frac{dt}{t} A(t) \quad (24)$$

所以非零边界贡献来自上面展开的 b_0 项。

- 由此我们得到一个重要结论：当 $A(z \rightarrow \infty) \rightarrow 0$ 时，边界贡献为零
当然这是一个比较强的充分条件。
- 对一般理论形变下边界行为的讨论，一个好的理论框架是“背景场”方法。这是一个非常重要和威力巨大的方法。它提供了非常好的物理图像！

[N. Arkani-Hamed and J. Kaplan, arXiv:0801.2385]

但是对规范场，我们可以有非常直接的分析：

- 首先，规范场的费曼图只有3点振幅分子含动量，会贡献潜在的 z 。
- 最危险的费曼图是只含3点顶角。对 n 点振幅，有 $(n-2)$ 个三点顶角， $(n-3)$ 个传播子，因此有大 z 行为 $\frac{z^{n-2}}{z^{n-3}} \sim z$ 。
- 但是回顾极化矢量的表达

$$\epsilon_{\nu}^{+}(k|\mu) = \frac{\langle \mu | \gamma_{\nu} | k \rangle}{\sqrt{2} \langle \mu | k \rangle}, \quad \epsilon_{\nu}^{-}(k|\mu) = \frac{[\mu | \gamma_{\nu} | k]}{\sqrt{2} [\mu | k]}, \quad (25)$$

但是对规范场，我们可以有非常直接的分析：

- 从表达式 (25) 可以看到：如果我们对 j^+ 的形变是 $\lambda_j \rightarrow \lambda_j - z\lambda_i$ ，对 i^- 的形变是 $\tilde{\lambda}_i \rightarrow \tilde{\lambda}_i + z\tilde{\lambda}_j$ ，那么每个分母有一个 z 出现，从而极化矢量贡献 $\frac{1}{z}$ 。合在一起，就可以看到

$$A(z) \rightarrow \frac{1}{z} \quad (26)$$

- 由于非零的规范振幅至少含一个 + 螺旋度和一个 - 螺旋度，我们总可以找到使边界贡献为零的形变！

其实，规范场形变下的边界行为可以从 MHV 振幅的表达式看到，其一般规律是

- 对螺旋度 $(i,j) = (-,-)/(+,+)/(-,+)$ ，形变 $[i|j\rangle$ 的边界行为是 $A(z) \rightarrow \frac{1}{z}$ ，当 i,j 相邻，或者 $A(z) \rightarrow \frac{1}{z^2}$ ，当 i,j 不相邻。对衰变更快的情况，有“Bonus”关系！
- 对螺旋度 $(i,j) = (+,-)$ ，形变 $[i|j\rangle$ 的边界行为是 $A(z) \rightarrow z^2$ ，当 i,j 相邻，或者 $A(z) \rightarrow z^3$ ，当 i,j 不相邻
- 在“背景场”分析方法中，可以看到这个边界行为是“规范不变性”的后果！

在壳递推关系的应用中，人们希望避免边界项的出现，为此可以有如下的方案：

- 多个粒子的形变，比如

$$\lambda_i \rightarrow \lambda_i + z c_i \eta, \quad \sum_i c_i \tilde{\lambda}_i = 0 \quad (27)$$

或者一部分做如上形变，一部分做对应的 $\tilde{\lambda}_j$ 的形变。多线形变下，传播子可以成为 $\frac{1}{z^2}$ 的形式。研究表明，对所有**可重整的理论**，存在多线形变，使边界贡献为零。

- 对很多有效理论 (Effective Field Theory, EFT), 有动量出现在相互作用顶角上, 因此边界贡献不可避免。但是这类理论有很好的红外行为, 即

$$\lim_{p \rightarrow 0} A(p) \sim p^\sigma \quad (28)$$

此时我们可以设计 “标度形变” 来充分利用已知的红外行为信息。 [C. Cheung, K. Kampf, J. Novotny, C.-H. Shen and J. Trnka, 1509.03309]

$$p_i \rightarrow p_i(1 - za_i), \quad \sum_i^n a_i p_i = 0 \quad (29)$$

- 利用红外行为，我们有

$$\lim_{z \rightarrow 1/a_i} A(z) \propto (z - 1/a_i)^\sigma \quad (30)$$

因此，我们可以引入

$$F(z) = \prod_i^n (1 - a_i z)^\sigma \quad (31)$$

并考虑如下的围道积分

$$A(z=0) = \frac{1}{2\pi i} \oint_{z=0} dz \frac{A(z)}{zF(z)} \quad (32)$$

- 由于引入 $F(z)$ ，它有效压低 z 在分子带来的影响，从而使边界贡献为零。
- 虽然看起来 $F(z)$ 引入了额外的“奇点”，但是由于 $A(z)$ 的红外行为，这些奇点的贡献完全被消除。
- 综合起来，就得到

$$A(z=0) = - \sum_l \operatorname{Res}_{z=z_l} \left[\frac{A(z)}{zF(z)} \right] \quad (33)$$

第3节：在壳递推关系的简单应用

第一个简单应用是证明 MHV 振幅公式

$$\begin{aligned} & A_n(1^+, 2^+, \dots, i^-, \dots, j^-, \dots, n^+) \\ &= \frac{\langle i|j \rangle^4}{\langle 1|2 \rangle \langle 2|3 \rangle \dots \langle n-1|n \rangle \langle n|1 \rangle} \end{aligned} \quad (34)$$

- 上面我们知道，形变 $[i|j\rangle$ 使边界贡献为零。
- 现在考虑可能贡献的有限奇点。由于 i, j 的形变，可能的贡献是 i, j 分别位于左右两边，即

$$\sum_{h=\pm} \frac{A_L(\dots, p_i(z_\alpha), \dots, -K^h(z_\alpha)) A_R(K^{-h}(z_\alpha), \dots, p_j(z_\alpha), \dots)}{K^2} \quad (35)$$

- 由于所有其它粒子都是 + 螺旋度，我们知道对 $n \geq 4$ 的情况，至少同时有两个 + 螺旋度，和两个 - 螺旋度的存在，才不为零。因此上面几乎所有的道贡献为零，除了 A_L 为三点振幅，或者 A_R 为三点振幅。
- 更重要的是，为了三点振幅的另一边非零，该三点振幅的螺旋度一定是 $(+, -, +)$ ，即 \overline{MHV} 类型。动力学要求三条外线动量的 λ 是正比的，而能达到这个目的只有通过如下形变：

$$\lambda_j(z) = \lambda_j + z\lambda_i$$

所以在壳递推关系告诉我们只有如下两项给出非零贡献

$$\begin{aligned}
 & A_R(-\hat{K}^+, \hat{j}^-, (j+1)^+) \frac{1}{(\rho_j + \rho_{j+1})^2} \\
 & A_L((j+2)^+, \dots, \hat{i}^-, \dots, (j-1)^+, \hat{K}^-) \\
 + & A_R(-\hat{K}^+, (j-1)^+, \hat{j}^-) \frac{1}{(\rho_j + \rho_{j-1})^2} \\
 & A_L((j+1)^+, \dots, \hat{i}^-, \dots, (j-2)^+, \hat{K}^-) \quad (36)
 \end{aligned}$$

下面我们给出详细的计算：

- $(p_j(z) + p_{j+1})^2 = \langle j+1 | j+zi \rangle [j | j+1] = 0$ 给出奇点位置

$$z = -\frac{\langle j+1 | j \rangle}{\langle j+1 | i \rangle} \quad (37)$$

从而

$$\begin{aligned} |\hat{j}\rangle &= |j\rangle - \frac{\langle j+1 | j \rangle}{\langle j+1 | i \rangle} |i\rangle = \frac{|j+1\rangle \langle j | i \rangle}{\langle j+1 | i \rangle} \\ \hat{K} &= |\hat{j}\rangle |j\rangle + |j+1\rangle |j+1\rangle \\ &= |j+1\rangle \left(|j\rangle \frac{\langle j | i \rangle}{\langle j+1 | i \rangle} + |j+1\rangle \right) \end{aligned} \quad (38)$$

$$\begin{aligned}
A_R(-\widehat{K}^+, \widehat{j}^-, (j+1)^+) &= (-) \frac{[j+1 | \widehat{-K}]^3}{[\widehat{-K} \widehat{j}] [\widehat{j} j+1]} \\
&= (-) \frac{\left(- [j+1 | j] \frac{\langle j | i \rangle}{\langle j+1 | i \rangle}\right)^3}{- [j+1 | j] [j | j+1]} \\
&= (-)(-) [j+1 | j] \left(\frac{\langle j | i \rangle}{\langle j+1 | i \rangle}\right)^3 \tag{39}
\end{aligned}$$

注意下面 convention:

$$| -K \rangle = | K \rangle, \quad | -K] = - | K] \tag{40}$$

这里给一个非常重要的细节解释：在文献中，有两类旋量的内积定义，即 **QCD-convention** 和 **Twistor-convention**。它们的差别可以表示为

$$[\alpha|\beta]_{QCD} = -[\alpha|\beta]_{twistor} \quad (41)$$

比如

$$2p_1 \cdot p_2 = \langle p_1|p_2\rangle [p_2|p_1]_{QCD} = \langle p_1|p_2\rangle [p_1|p_2]_{twistor} \quad (42)$$

因此我们熟悉的 3 点 \overline{MHV} 振幅

$$A(1^+, 2^+, 3^-) = \frac{[1|2]_{twistor}^3}{[2|3]_{twistor} [3|1]_{twistor}} = -\frac{[1|2]_{QCD}^3}{[2|3]_{QCD} [3|1]_{QCD}} \quad (43)$$



$$\begin{aligned} & A_L((j+2)^+, \dots, \hat{i}^-, \dots, (j-1)^+, \hat{K}^-) \\ &= \frac{\langle i|j+1 \rangle^4}{\langle j+1|j+2 \rangle \dots \langle j-1|j+1 \rangle} \end{aligned} \quad (44)$$

• 合起来是

$$\begin{aligned} & [j+1|j] \left(\frac{\langle j|i \rangle}{\langle j+1|i \rangle} \right)^3 \frac{1}{\langle j|j+1 \rangle [j+1|j]} \\ & \frac{\langle i|j+1 \rangle^4}{\langle j+1|j+2 \rangle \dots \langle j-1|j+1 \rangle} \end{aligned} \quad (45)$$

- 简化后是

$$-\frac{\langle j|i \rangle^3}{\langle j|j+1 \rangle \dots \langle j-1|j \rangle} \times \frac{\langle i|j+1 \rangle \langle j-1|j \rangle}{\langle j-1|j+1 \rangle} \quad (46)$$

- 同样计算另一项：

$$z = -\frac{\langle j-1|j \rangle}{\langle j-1|i \rangle}, \quad |\hat{j}\rangle = \frac{|j-1\rangle \langle j|i \rangle}{\langle j-1|i \rangle}$$

$$\hat{K} = |j-1\rangle \left(|j\rangle \frac{\langle j|i \rangle}{\langle j-1|i \rangle} + |j-1\rangle \right) \quad (47)$$

$$\begin{aligned}
 A_R(-\hat{K}^+, (j-1)^+, \hat{j}^-) &= [j|j-1] \left(\frac{\langle j|i \rangle}{\langle j-1|i \rangle} \right)^3 \\
 A_L((j+1)^+, \dots, \hat{i}^-, \dots, (j-2)^+, \hat{K}^-) \\
 &= \frac{\langle i|j-1 \rangle^4}{\langle j+1|j+2 \rangle \dots \langle j-1|j+1 \rangle} \tag{48}
 \end{aligned}$$

合起来，并简化得到

$$- \frac{\langle j|i \rangle^3}{\langle j|j+1 \rangle \dots \langle j-1|j \rangle} \times \frac{-\langle i|j-1 \rangle \langle j+1|j \rangle}{\langle j-1|j+1 \rangle} \tag{49}$$

- 最后两项相加是

$$\begin{aligned}
 & -\frac{\langle j|i\rangle^3}{\langle j|j+1\rangle \dots \langle j-1|j\rangle} \times \\
 & \left(\frac{\langle i|j+1\rangle \langle j-1|j\rangle}{\langle j-1|j+1\rangle} + \frac{-\langle i|j-1\rangle \langle j+1|j\rangle}{\langle j-1|j+1\rangle} \right) \\
 = & -\frac{\langle j|i\rangle^3}{\langle j|j+1\rangle \dots \langle j-1|j\rangle} \frac{\langle i|j\rangle \langle j-1|j+1\rangle}{\langle j-1|j+1\rangle} \\
 = & \frac{\langle j|i\rangle^4}{\langle j|j+1\rangle \dots \langle j-1|j\rangle} \tag{50}
 \end{aligned}$$

第二个例子是计算色次序胶子振幅
 $A(1^-, 2^-, 3^-, 4^+, 5^+, 6^+)$ ，并选择形变 $[3|4)$ 。该振幅有
 220 个费曼图贡献！

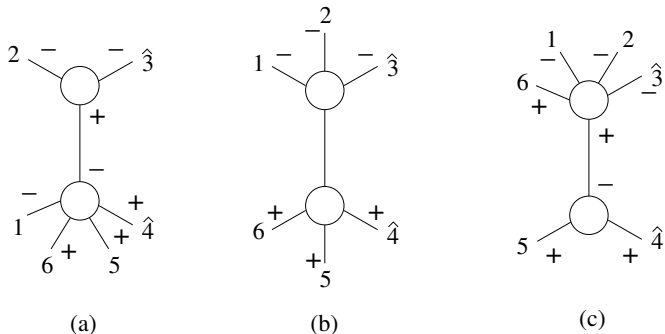


图: 3 个 BCFW 图

3 个 BCFW 图中，中间的图不管内线是什么样的螺旋度安排，都为零。左右两边的图，非零螺旋度安排只有一种，在图中标示出来。对左边的图：

- 奇点位置

$$(p_2 + p_3(z))^2 = \langle 2|3 \rangle [3 + z4|2] = 0 \quad (51)$$

给出

$$z = -\frac{[3|2]}{[4|2]} \quad (52)$$

• 有

$$\begin{aligned}
 |\widehat{3}\rangle &= |3\rangle - \frac{[3|2]}{[4|2]} |4\rangle = |2\rangle \frac{[3|4]}{[2|4]} \\
 |\widehat{4}\rangle &= |4\rangle + \frac{[3|2]}{[4|2]} |3\rangle = \frac{|3+4|2\rangle}{[4|2]} \\
 \widehat{K} &= p_2 + \widehat{p}_3 = |2\rangle \left(|2\rangle + |3\rangle \frac{[3|4]}{[2|4]} \right) \\
 &= |2\rangle \frac{|2+3|4\rangle}{[2|4]} \tag{53}
 \end{aligned}$$

• 从而

$$\begin{aligned}
 A(2^-, \widehat{3}^-, \widehat{-K}^+) &= \frac{\langle 2|\widehat{3} \rangle^3}{\langle \widehat{3}|\widehat{-K} \rangle \langle \widehat{-K}|2 \rangle} \\
 &= \frac{\langle 2|3 \rangle^3}{\frac{\langle 3|2+3|4 \rangle}{[2|4]} \frac{(-)\langle 2|2+3|4 \rangle}{[2|4]}} \\
 &= \frac{\langle 2|3 \rangle [2|4]}{[3|4]} \tag{54}
 \end{aligned}$$

$$\begin{aligned}
A(\widehat{K}^-, \widehat{4}^+, 5^+, 6^+, 1^-) &= \frac{\langle 1|\widehat{K}\rangle^3}{\langle \widehat{K}|\widehat{4}\rangle \langle \widehat{4}|5\rangle \langle 5|6\rangle \langle 6|1\rangle} \\
&= \frac{\left(\frac{\langle 1|2+3|4\rangle}{[2|4]}\right)^3}{\frac{[4|2+3|3+4|2]}{[2|4]^2} \frac{(-)\langle 5|3+4|2\rangle}{[4|2]} \langle 5|6\rangle \langle 6|1\rangle} \\
&= \frac{\left(\frac{\langle 1|2+3|4\rangle}{[2|4]}\right)^3}{\frac{s_{234}[4|2]}{[2|4]^2} \frac{(-)\langle 5|3+4|2\rangle}{[4|2]} \langle 5|6\rangle \langle 6|1\rangle} \\
&= \frac{-\langle 1|2+3|4\rangle^3}{s_{234} [2|4] \langle 5|3+4|2\rangle \langle 5|6\rangle \langle 6|1\rangle} \tag{55}
\end{aligned}$$

合在一起得到

$$\begin{aligned}
 & \frac{\langle 2|3\rangle [2|4]}{[3|4]} \times \frac{1}{\langle 2|3\rangle [3|2]} \\
 & \times \frac{-\langle 1|2+3|4\rangle^3}{s_{234} [2|4] \langle 5|3+4|2\rangle \langle 5|6\rangle \langle 6|1\rangle} \\
 & = \frac{\langle 1|2+3|4\rangle^3}{s_{234} [2|3] [3|4] \langle 5|3+4|2\rangle \langle 5|6\rangle \langle 6|1\rangle} \quad (56)
 \end{aligned}$$

作业： (a) 计算另一个 BCFW 图； (b) 计算 $A(1^+, 2^+, 3^-, 4^+, 5^-, 6^-)$ 。